

# Controle em Tempo Real - Avaliação I - Grupo I

Lucas Barra de Aguiar Nunes - DRE: 118039991

Lucas Costa Barbosa - DRE: 118045887

10/01/2021

# Conteúdo

<b>Exercícios 1, 2, e 3</b>	<b>4</b>
<b>Exercício 4</b>	<b>6</b>
Definição do modelo . . . . .	6
Resultados . . . . .	7
Discussão dos resultados . . . . .	9
Comparação dos custos . . . . .	9
Análise do sinal de controle . . . . .	10
Análise do do efeito do ruído de medição . . . . .	10
Análise do efeito de $Q_0, Q_1$ e $Q_2$ . . . . .	10
Análise do efeito da perturbação de entrada . . . . .	11
<b>Apêndice A</b>	<b>12</b>
Propriedade das Matrizes . . . . .	12
Transposição . . . . .	12
Derivação . . . . .	12
<b>Apêndice B</b>	<b>12</b>

## Lista de Figuras

1	Comparação entre ganhos obtidos por derivação e pela equação (5) (DRE). . . . .	6
2	Esquema do arquivo <i>ex4_custo.slx</i> . . . . .	7
3	Gráfico dos estados do duplo integrador discreto para ARE e DRE.	7
4	Gráfico das saídas do duplo integrador discreto para ARE e DRE.	8
5	Gráfico dos erros do duplo integrador discreto para ARE e DRE.	8
6	Gráfico dos sinais de controle do duplo integrador discreto para ARE e DRE. . . . .	9
7	Gráfico dos custos do duplo integrador discreto para ARE e DRE.	9
8	Análise do efeito do ruído na amostragem das saídas de ARE e DRE. . . . .	10
9	Análise do efeito de $Q_0$ e $Q_1$ nos estados do modelo. . . . .	11
10	Gráfico dos estados de ARE e DRE para perturbação de valor final 0.06. . . . .	11

## Exercícios 1, 2, e 3

Dado a função de custo para o passo N-p, temos  $x = x[N - p]$ ,  $u = u[N - p]$ ,  $Q_1 = Q_1[N - p]$ ,  $Q_2 = Q_2[N - p]$ ,  $\Phi = \Phi[N - p]$ ,  $\Gamma = \Gamma[N - p]$ :

$$J_{N-p,N}(x, u) = x^T(Q_1 + \Phi^T \mathcal{P} \Phi)x + u^T(\Gamma^T \mathcal{P} \Gamma + Q_2)u + x^T(\Phi^T \mathcal{P} \Gamma)u + u^T(\Gamma^T \mathcal{P} \Phi)x \quad (1)$$

$$\mathcal{P} = \mathcal{P}^T 0 \quad (2)$$

$$Q_1 = Q_1^T 0 \quad (3)$$

$$Q_2 = Q_2^T 0 \quad (4)$$

$$\Gamma^T \mathcal{P} \Gamma = (\Gamma^T \mathcal{P} \Gamma)^T > 0 \quad (5)$$

$$(6)$$

Dada as propriedades da diferenciação e transposição de matrizes demonstradas no Apêndice A, temos:

$$\left. \frac{\partial J_{N-p,N}(x, u)}{\partial u} \right|_{u=u^*} = (u^*)^T[(\Gamma^T \mathcal{P} \Gamma + Q_2)^T + (\Gamma^T \mathcal{P} \Gamma + Q_2)] + x^T(\Phi^T \mathcal{P} \Gamma) + ((\Gamma^T \mathcal{P} \Phi)x)^T = 0 \quad (7)$$

$$\left. \frac{\partial J_{N-p,N}(x, u)}{\partial u} \right|_{u=u^*} = 2(u^*)^T(\Gamma^T \mathcal{P} \Gamma + Q_2)^T + 2x^T(\Phi^T \mathcal{P} \Gamma) = 0 \quad (8)$$

$$2(\Gamma^T \mathcal{P} \Gamma + Q_2)u^* + 2(\Gamma^T \mathcal{P} \Phi)x = 0 \quad (9)$$

$$u^* = -[(\Gamma^T \mathcal{P} \Gamma + Q_2)^{-1} \Gamma^T \mathcal{P} \Phi]x \quad (10)$$

$$\frac{\partial^2 J_{N-p,N}(x, u)}{u^2} = 2u^T(\Gamma^T \mathcal{P} \Gamma + Q_2)^T > 0 \quad (11)$$

No exercício 1,  $\mathcal{P}$  inicia como uma matriz simétrica e ao final lhe é atribuída uma outra matriz simétrica. Os exercícios seguintes obtêm a simétrica anterior e atribuem a mesma matriz simétrica. Como no cálculo acima foi provado para uma matriz simétrica  $\mathcal{P}$  qualquer, a prova é válida para os 3 exercícios.

Para achar o custo referente ao controle ótimo  $u^*$ :

$$J_{N-p,N}^*(x) = J_{N-p,N}(x, u^*) = x^T(Q_1 + \Phi^T \mathcal{P} \Phi)x + (-Fx)^T(\Gamma^T \mathcal{P} \Gamma + Q_2)(-Fx) + \quad (12)$$

$$+ x^T(\Phi^T \mathcal{P} \Gamma)(-Fx) + (-Fx)^T(\Gamma^T \mathcal{P} \Phi)x = \quad (13)$$

$$J_{N-p,N}^*(x) = x^T(Q_1 + \Phi^T \mathcal{P} \Phi)x + x^T(F^T(\Gamma^T \mathcal{P} \Gamma + Q_2)F)x - x^T(\Phi^T \mathcal{P} \Gamma F)x - x^T(F^T \Gamma^T \mathcal{P} \Phi)x = \quad (14)$$

$$(15)$$

Sendo:

$$F^T(\Gamma^T \mathcal{P}\Gamma + Q_2)F = ((\Gamma^T \mathcal{P}\Gamma + Q_2)^{-1} \Gamma^T \mathcal{P}\Phi)^T (\Gamma^T \mathcal{P}\Gamma + Q_2) (\Gamma^T \mathcal{P}\Gamma + Q_2)^{-1} \Gamma^T \mathcal{P}\Phi = \quad (16)$$

$$= (\Gamma^T \mathcal{P}\Phi)^T ((\Gamma^T \mathcal{P}\Gamma + Q_2)^{-1})^T (\Gamma^T \mathcal{P}\Gamma + Q_2) (\Gamma^T \mathcal{P}\Gamma + Q_2)^{-1} \Gamma^T \mathcal{P}\Phi = \quad (17)$$

$$= (\Gamma^T \mathcal{P}\Phi)^T ((\Gamma^T \mathcal{P}\Gamma + Q_2)^{-1})^T \Gamma^T \mathcal{P}\Phi \quad (18)$$

$$\Phi^T \mathcal{P}\Gamma F = \Phi^T \mathcal{P}\Gamma (\Gamma^T \mathcal{P}\Gamma + Q_2)^{-1} \Gamma^T \mathcal{P}\Phi \quad (19)$$

$$F^T \Gamma^T \mathcal{P}\Phi = ((\Gamma^T \mathcal{P}\Gamma + Q_2)^{-1} \Gamma^T \mathcal{P}\Phi)^T \Gamma^T \mathcal{P}\Phi = (\Gamma^T \mathcal{P}\Phi)^T ((\Gamma^T \mathcal{P}\Gamma + Q_2)^{-1})^T \Gamma^T \mathcal{P}\Phi \quad (20)$$

Logo:

$$J_{N-p,N}^*(x) = x^T (Q_1 + \Phi^T \mathcal{P}\Phi + (\Gamma^T \mathcal{P}\Phi)^T ((\Gamma^T \mathcal{P}\Gamma + Q_2)^{-1})^T \Gamma^T \mathcal{P}\Phi + \quad (21)$$

$$- \Phi^T \mathcal{P}\Gamma (\Gamma^T \mathcal{P}\Gamma + Q_2)^{-1} \Gamma^T \mathcal{P}\Phi - (\Gamma^T \mathcal{P}\Phi)^T ((\Gamma^T \mathcal{P}\Gamma + Q_2)^{-1})^T \Gamma^T \mathcal{P}\Phi) x = \quad (22)$$

$$J_{N-p,N}^*(x) = x^T (Q_1 + \Phi^T \mathcal{P}\Phi - \Phi^T \mathcal{P}\Gamma (\Gamma^T \mathcal{P}\Gamma + Q_2)^{-1} \Gamma^T \mathcal{P}\Phi) x \quad (23)$$

O código *ex3\_controle\_otimo.m*, utilizando o modelo discreto para o duplo integrador, apresentada no Apêndice B se encarrega de achar o ganho ótimo  $F^*$  pela derivação de  $J_{N-p,N}(x, u)$ , comparando com o valor achado utilizando a equação (5).

A figura 1 ilustra a comparação entre esses ganhos. É possível perceber que de fato os valores são iguais.

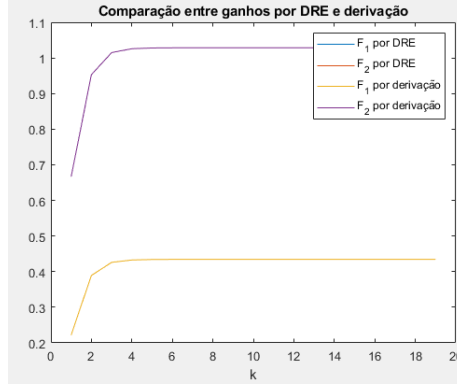


Figura 1: Comparação entre ganhos obtidos por derivação e pela equação (5) (DRE).

## Exercício 4

### Definição do modelo

Para o duplo integrador:

$$\ddot{y} = u \quad (24)$$

$$\mathbf{x} = \begin{bmatrix} y \\ \dot{y} \end{bmatrix} \quad (25)$$

$$\dot{\mathbf{x}} = \begin{bmatrix} x_2 \\ u \end{bmatrix} \quad (26)$$

$$\dot{\mathbf{x}} = \begin{bmatrix} 0 & 1 \\ 0 & 0 \end{bmatrix} \mathbf{x} + \begin{bmatrix} 0 \\ 1 \end{bmatrix} u \quad (27)$$

$$y = \begin{bmatrix} 1 & 0 \end{bmatrix} \mathbf{x} \quad (28)$$

$$\Phi = e^{Ah} = I + Ah = \begin{bmatrix} 1 & 0 \\ 0 & 1 \end{bmatrix} + \begin{bmatrix} 0 & h \\ 0 & 0 \end{bmatrix} = \begin{bmatrix} 1 & h \\ 0 & 1 \end{bmatrix} \quad (29)$$

$$\Gamma = \int_0^h \Phi ds B = \begin{bmatrix} h & \frac{h^2}{2} \\ 0 & h \end{bmatrix} \begin{bmatrix} 0 \\ 1 \end{bmatrix} = \begin{bmatrix} \frac{h^2}{2} \\ h \end{bmatrix} \quad (30)$$

$$C = \begin{bmatrix} 1 & 0 \end{bmatrix} \quad (31)$$

Conhecendo essas constantes, basta se definir os valores de  $Q_0, Q_1, Q_2, x[-1]$  e  $x[0]$  para encontrarmos  $\bar{J}[k]$  e  $u[k]$ .

Os códigos *ex4\_custo\_script.m* e *ex4\_custo\_plot.m*, contidos no Apêndice B se encarrega de calcular e plotar  $\bar{J}[k]$ , comparando com os outros valores pedidos.

A figura 2 ilustra o diagrama de blocos do arquivo *ex4.custo.slx*:

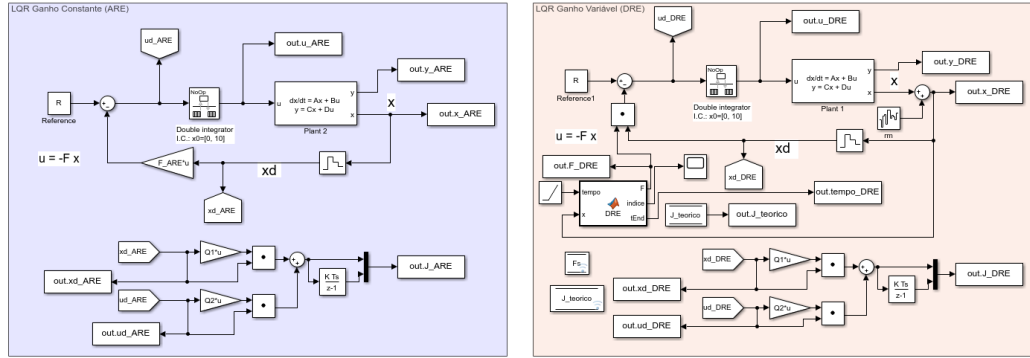


Figura 2: Esquema do arquivo *ex4.custo.slx*.

## Resultados

As figuras 3-7 ilustram os gráficos dos estados, saída, erro em relação a referência nula, sinais de controle e custo, respectivamente, todos em tempo discreto, e comparando entre o método ARE e DRE, para as condições de  $Q_0 = Q_1 = I$ ,  $Q_2 = 10$ ,  $x[0] = [0, 1]$ . Os sinais estão sem ruído para facilitar a análise, porém posteriormente irá se analisar o ruído. O valor de  $Q_2$  foi elevado para permitir visualizar a diferença entre os métodos.

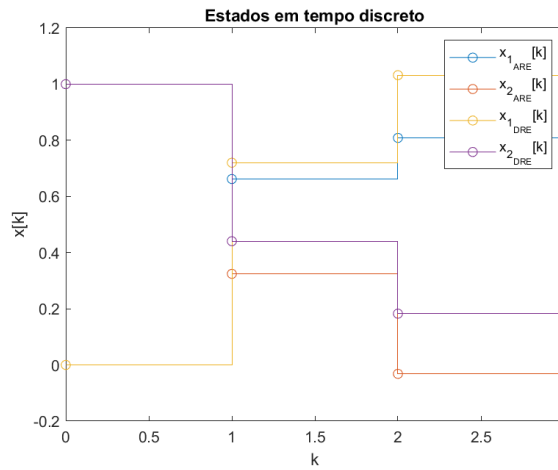


Figura 3: Gráfico dos estados do duplo integrador discreto para ARE e DRE.

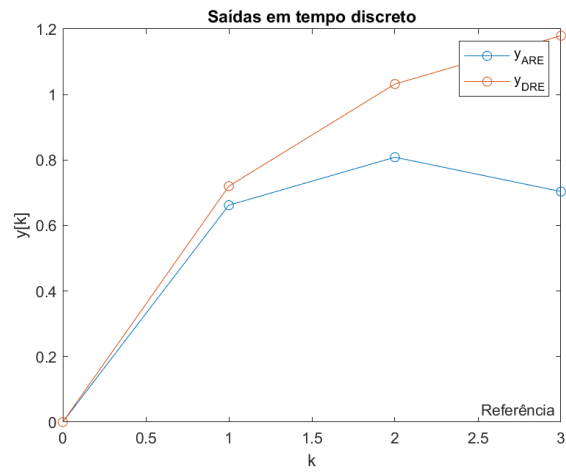


Figura 4: Gráfico das saídas do duplo integrador discreto para ARE e DRE.

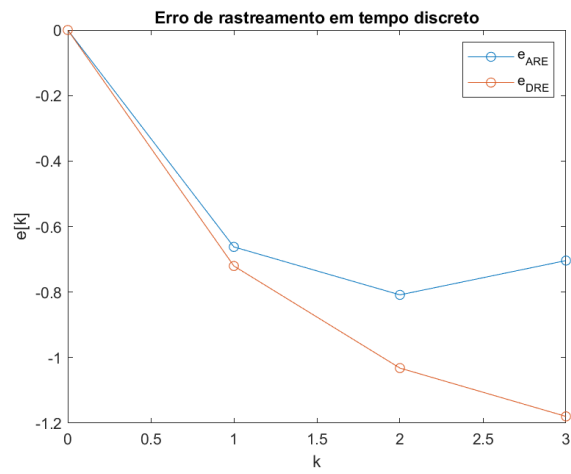


Figura 5: Gráfico dos erros do duplo integrador discreto para ARE e DRE.



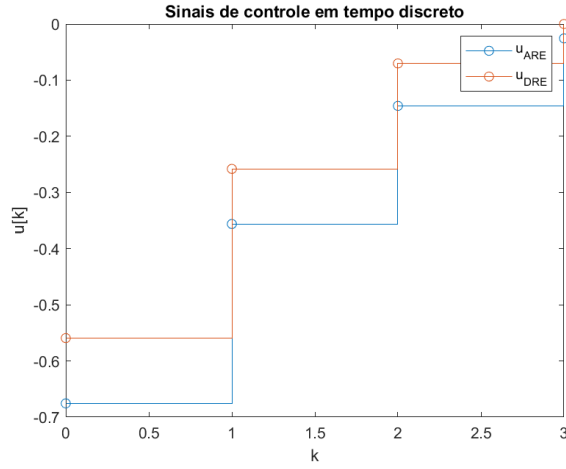


Figura 6: Gráfico dos sinais de controle do duplo integrador discreto para ARE e DRE.

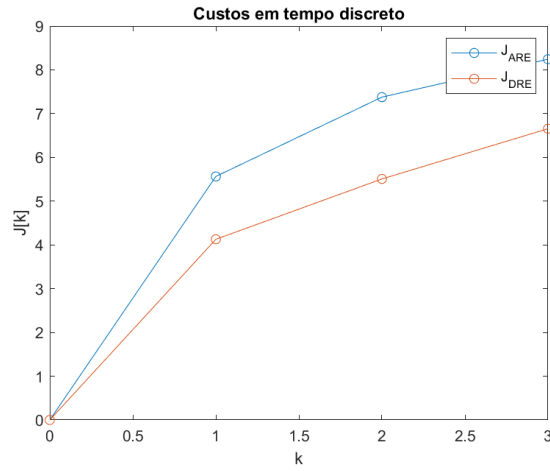
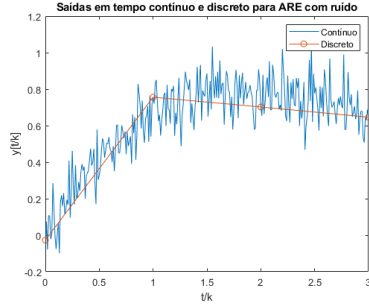


Figura 7: Gráfico dos custos do duplo integrador discreto para ARE e DRE.

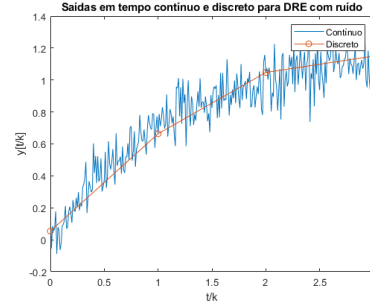
## Discussão dos resultados

### Comparação dos custos

É possível perceber que a planta implementou com sucesso uma integração. O valor de  $Q_2$  escolhido foi este para que a otimização de  $u$  e consequentemente o ajuste fino do ganho fosse importante. Na figura 7 é possível notar que o custo do método DRE foi consideravelmente menor, provando a superioridade deste método para um  $Q_2$  elevado.



(a) Saídas em tempo contínuo e discreto para ARE com ruído



(b) Saídas em tempo contínuo e discreto para DRE com ruído

Figura 8: Análise do efeito do ruído na amostragem das saídas de ARE e DRE.

### Análise do sinal de controle

Como dito anteriormente, o valor elevado de  $Q_2$  leva a uma estratégia de otimização focada em minimizar o módulo de  $u$ , com o intuito de minimizar o custo. O método DRE obteve mais êxito nesse sentido, como pode ser visto na figura 6, visto que o sinal de controle de DRE é menos negativo.

Um ponto negativo disso é que o módulo de  $x$  irá diminuir menos, causando um custo maior. Porém, como  $Q_1$  e  $Q_0$  são pequenos em relação a  $Q_2$ , esse aumento se torna irrisório frente a redução do custo do controle.

### Análise do efeito do ruído de medição

Adicionando um ruído de frequência cem vezes maior que a frequência de amostragem, i.e.,  $\frac{100}{h}$ , e potência de 0.0001, temos as seguintes saídas:

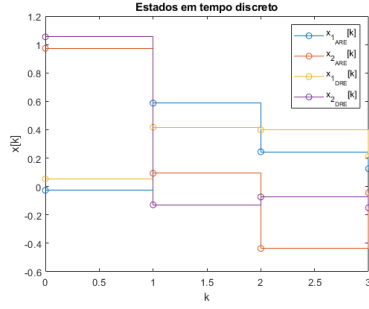
É possível notar que, visto que o ruído possui alta frequência e baixa potência, há pouco prejuízo na amostragem da saída. Pelo teorema de Nyquist, a frequência de amostragem deveria ser pelo menos o dobro da frequência do ruído para que sua presença causasse modificações significantes. Logo, o período de amostragem deveria ser 200 vezes menor do que é atualmente.

### Análise do efeito de $Q_0, Q_1$ e $Q_2$

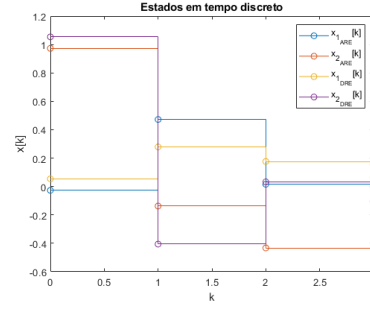
A matriz  $Q_0$  é responsável por minimizar o estado final, e consequentemente o erro de estado estacionário para referência nula, como é nesse caso.

Já a matriz  $Q_1$  é responsável por minimizar os estados, agilizando a sua estabilidade durante o transitório.

A figura 9 ilustra o efeito no modelo abordado:



(a) Estados para  $Q_0 = 10I$  e  $Q_1 = I$



(b) Estados para  $Q_0 = I$  e  $Q_1 = 10I$

Figura 9: Análise do efeito de  $Q_0$  e  $Q_1$  nos estados do modelo.

É possível notar que, em relação a figura 3, houve uma redução drástica do estado final e do transitório, respectivamente.

Por fim, a matriz  $Q_2$ , como dito anteriormente, minimiza o controle.

#### Análise do efeito da perturbação de entrada

Analisando o controle ilustrado na figura 6, decidiu-se utilizar uma perturbação em degrau de valor final igual a 0.06, que é aproximadamente 10% do módulo do valor máximo do controle. E usando novamente  $Q_0 = Q_1 = I$  e  $Q_2 = 1$ , e eliminando o ruído para auxiliar na análise do efeito da perturbação.

A figura 10 ilustra o espaço de estados para a perturbação abordada.

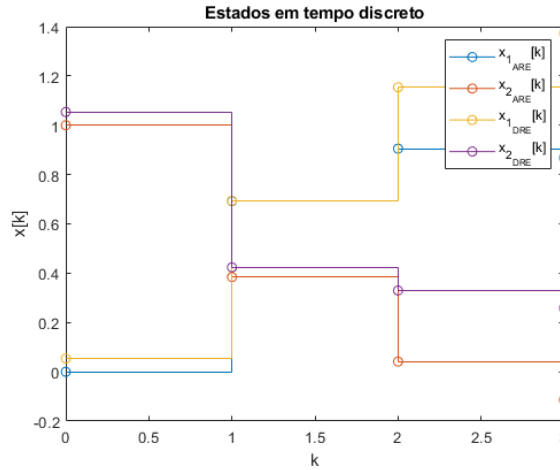


Figura 10: Gráfico dos estados de ARE e DRE para perturbação de valor final 0.06.

É possível perceber que a perturbação atenuou o controle, fazendo com que os estados avançassem mais.

## Apêndice A

### Propriedade das Matrizes

#### Transposição

$$(AB)^T = B^T A^T \quad (32)$$

$$(A^T B)^T = B^T (A^T)^T = B^T A \quad (33)$$

#### Derivação

$$Q(x) = x^T A x \quad (34)$$

$$DQ(x)(h) = x^T A h + h^T A x = x^T A h + x^T A^T h = x^T (A + A^T) h \quad (35)$$

$$\frac{\partial Q(x)}{\partial x} = x^T (A + A^T) \quad (36)$$

## Apêndice B

Código *ex3\_controle.m*:

```
1 clear all;
2 close all;
3 global N Phi Gamma Q1 Q2 Q0 h
4 %Passo de amostragem
5 h = 1;
6
7 %Horizonte de otimiza o
8 N = 20;
9
10 %Modelo discreto do duplo integrador
11 Phi = [1 h; 0 1];
12 Gamma = [h^2/2; h];
13 C = [1 0];
14 D = 0;
15
16 %ordem do sistema
17 n = length(Phi);
18
19 %Custo
20 Q0 = eye(2);
21 Q1 = eye(2);
22 Q2 = 1;
23
24 T = Q0;
25 syms x1_ x2_ u_
26 x = [[0;0]];
27 x_ = [x1_; x2_];
28
```

```

29 for k=1:N-1
30     F(k,:) = inv(Gamma'*T*Gamma+Q2)*Gamma'*T*Phi;
31     u(k) = (-1)*F(k,:)*x(:,k);
32     J = x_*(Q1+Phi'*T*Phi)*x_+u_*(Gamma'*T*Gamma+Q2)*u_ + x_
        *(Phi'*T*Gamma)*u_+u_*(Gamma'*T*Phi)*x_ ;
33     dJ = diff(J,u_);
34     F_-(k,:) = [vpa(diff(dJ,x1_)/diff(dJ,u_)) vpa(diff(dJ,x2_)/
        diff(dJ,u_))];
35     x(:,k+1) = Phi*x(:,k) + Gamma*u(k);
36     T = Q1+Phi'*T*Phi-Phi'*T*Gamma*inv(Gamma'*T*Gamma+Q2)*
        Gamma'*T*Phi;
37 end
38
39 plot(1:N-1,F)
40 hold on
41 plot(1:N-1,F_-)
42 legend('F_1 por DRE','F_2 por DRE','F_1 por deriva o','F_2 por deriva o');
43 xlabel('k');
44 title('Compara o entre ganhos por DRE e deriva o')

```

Código *ex4\_custo\_plot.m*:

```

1  %Configura o inicial
2  clear all;
3  close all;
4  run('ex4_custo_script.m')
5  save = false;
6
7  N = 4;
8  h = 1;
9
10 F0 = zeros(1,n,1,N);
11 out = sim('ex4_custo.slx',(N-1)*h);
12
13
14 %Estados
15 figure(1)
16 plot(out.xd_ARE,'o-')
17 hold on
18 plot(out.xd_DRE,'o-')
19 legend('x_{1-{ARE}}[k]','x_{2-{ARE}}[k]','x_{1-{DRE}}[k]','x_{2-{DRE}}[k]')
20 title('Estados em tempo discreto')
21 xlabel('k')
22 ylabel('x[k]')
23 if save == true
24     saveas(gcf,'figs/ex4_x.png')
25 end
26 hold off
27
28 %Sa da
29 figure(2)
30 plot(out.xd_ARE.Time,out.xd_ARE.Data(:,1),'o-')
31 hold on
32 plot(out.xd_DRE.Time,out.xd_DRE.Data(:,1),'o-')
33 yline(0,'-','Referencia');
34 legend('y_{ARE}','y_{DRE}')
35 title('Sa das em tempo discreto')
36 xlabel('k')
37 ylabel('y[k]')
38 if save == true
39     saveas(gcf,'figs/ex4_y.png')
40 end
41 hold off
42
43 %Erro
44 figure(3)
45 plot(out.xd_ARE.Time,R-out.xd_ARE.Data(:,1),'o-')
46 hold on
47 plot(out.xd_DRE.Time,R-out.xd_DRE.Data(:,1),'o-')
48 legend('e_{ARE}','e_{DRE}')
49 title('Erro de rastreamento em tempo discreto')
50 xlabel('k')
51 ylabel('e[k]')
52 if save == true

```

```

53     saveas(gcf, 'figs/ex4_e.png')
54 end
55 hold off
56
57 %Sinal de controle
58 figure(4)
59 plot(out.ud_ARE, 'o-')
60 hold on
61 plot(out.ud_DRE, 'o-')
62 hold on
63 legend('u_{ARE}', 'u_{DRE}')
64 title('Sinais de controle em tempo discreto')
65 xlabel('k')
66 ylabel('u[k]')
67 if save == true
68     saveas(gcf, 'figs/ex4_u.png')
69 end
70 hold off
71
72 %Custos
73 figure(5)
74 plot(out.J_ARE.Time, out.J_ARE.Data(:,2), 'o-')
75 hold on
76 plot(out.J_DRE.Time, out.J_DRE.Data(:,2), 'o-')
77 hold on
78 legend('J_{ARE}', 'J_{DRE}')
79 title('Custos em tempo discreto')
80 xlabel('k')
81 ylabel('J[k]')
82 if save == true
83     saveas(gcf, 'figs/ex4_J.png')
84 end
85 hold off

```

Código *ex4\_custo\_script.m*:

```

1  clear all;
2  global N Phi Gamma Q1 Q2 Q0 h R
3  %Passo de amostragem
4  h = 1;
5
6  %Horizonte de otimiza o
7  N = 20;
8
9  %Modelo discreto do duplo integrador
10 Phi = [
11     1 h;
12     0 1
13 ];
14 Gamma = [
15     h^2/2;
16     h
17 ];
18 C = [1 0];
19 D = 0;

```

```

20
21 %ordem do sistema
22 n = length(Phi);
23
24 %Custo
25 Q0 = [
26     1 0;
27     0 1
28 ];
29 Q1 = [
30     1 0;
31     0 1
32 ];
33 Q2 = 10;
34
35 %Estado inicial
36 x0= [0;1];
37
38 %Referência
39 R = 0;
40
41 %F por ARE
42 [X,FARE,~,info] = idare(Phi,Gamma,Q1,Q2,[],[]);
43
44 %Valor inicial do bloco de memória
45 F0 = zeros(1,n,1,N);
46
47 %N vel ruído de medição
48 rm_ARE = 0;
49 seed_ARE = 41;
50
51 rm_DRE = 1e-4;
52 seed_DRE = 42;
53
54 %Perturbação de entrada
55 d_ARE = 0.06;
56 d_ARE_gate = 1;
57
58 d_DRE = 0.06;
59 d_DRE_gate = 1;

```